

Quelques propriétés asymptotiques en planification séquentielle d'expériences

Luc Pronzato

Laboratoire I3S, Sophia Antipolis, France

- 1) Introduction
- 2) Planification séquentielle D -optimale
- 3) Planification D -optimale avec contrainte
- 4) Planification séquentielle D -optimale pénalisée
- 5) Exemples
- 6) Conclusions

- 1) Introduction
- 2) Planification séquentielle D -optimale
- 3) Planification D -optimale avec contrainte
- 4) Planification séquentielle D -optimale pénalisée
- 5) Exemples
- 6) Conclusions

Pourquoi planifier séquentiellement ?

Modèle de régression $\eta(x, \theta)$, non linéaire en $\theta \Rightarrow$ l'expérience optimale pour estimer θ dépend de θ !

Matrice d'information $\mathbf{M}(\xi, \theta) = \int_{\mathcal{X}} \mathbf{f}_{\theta}(x) \mathbf{f}_{\theta}^{\top}(x) \xi(dx)$ avec

- ▶ ξ une mesure de probabilité sur \mathcal{X}
- ▶ $\mathbf{f}_{\theta}(x) = \frac{1}{\sigma} \frac{\partial \eta(x, \theta)}{\partial \theta}$

$\xi_D^*(\theta)$ est *D*-optimal pour θ : $\xi_D^*(\theta)$ maximise $\log \det[\mathbf{M}(\xi, \theta)]$

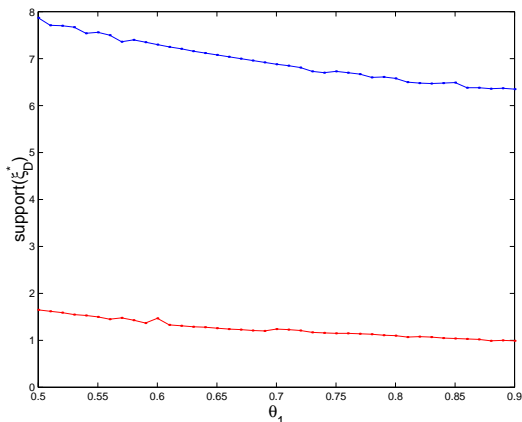
Exemples

- ▶ [Box & Lucas, 1959] :

$$\eta(x, \theta) = \frac{\theta_1}{\theta_1 - \theta_2} [\exp(-\theta_2 x) - \exp(-\theta_1 x)]$$

→ pour $\theta = (0.7, 0.2)^\top$, $\xi_D^* = \frac{1}{2}\delta_{x^{(1)}} + \frac{1}{2}\delta_{x^{(2)}}$ avec $x^{(1)} \simeq 1.25$ et $x^{(2)} \simeq 6.60$

$x^{(1)}$ et $x^{(2)}$ pour $\theta_1 \in [0.5, 0.9]$ et $\theta_2 = 0.2$



- 1) Introduction
- 2) Planification séquentielle *D*-optimale
- 3) Planification *D*-optimale avec contrainte
- 4) Planification séquentielle *D*-optimale pénalisée
- 5) Exemples
- 6) Conclusions

- ▶ Michaelis-Menten : $\eta(x, \theta) = \frac{\theta_1 x}{\theta_2 + x}$, $x \in (0, \bar{x}]$, $\theta_1, \theta_2 > 0$
→ $\xi_D^* = \frac{1}{2}\delta_{x(1)} + \frac{1}{2}\delta_{x(2)}$ avec $x^{(1)} = \frac{\theta_2 \bar{x}}{2\theta_2 + \bar{x}}$ et $x^{(2)} = \bar{x}$
- ▶ Décroissance exponentielle : $\eta(x, \theta) = \theta_1 \exp(-\theta_2 x)$,
 $x \geq \underline{x}$, $\theta_1, \theta_2 > 0$
→ $\xi_D^* = \frac{1}{2}\delta_{x(1)} + \frac{1}{2}\delta_{x(2)}$ avec $x^{(1)} = \underline{x}$ et $x^{(2)} = \underline{x} + \frac{1}{\theta_2}$
- ▶ ...

1) Introduction

2) Planification séquentielle D -optimale

3) Planification D -optimale avec contrainte

4) Planification séquentielle D -optimale pénalisée

5) Exemples

6) Conclusions

Planification totalement séquentielle («full sequential

design») : choisir x_1, \dots, x_{n_0} , estimer $\hat{\theta}^{n_0}$, poser $k = n_0$ puis

- ▶ planifier x_{k+1}
- ▶ observer Y_{k+1}
- ▶ ré-estimer $\hat{\theta}^{k+1}$
- ▶ $k \leftarrow k + 1 \dots$

D-optimalité :

$$x_{k+1} = \arg \max_{x \in \mathcal{X}} \det \left[\sum_{i=1}^k \mathbf{f}_{\hat{\theta}^k}(x_i) \mathbf{f}_{\hat{\theta}^k}^\top(x_i) + \mathbf{f}_{\hat{\theta}^k}(x) \mathbf{f}_{\hat{\theta}^k}^\top(x) \right]$$

ou encore

$$x_{k+1} = \arg \max_{x \in \mathcal{X}} \mathbf{f}_{\hat{\theta}^k}^\top(x) \mathbf{M}^{-1}(\xi_k, \hat{\theta}^k) \mathbf{f}_{\hat{\theta}^k}(x) \quad \text{avec}$$

$\xi_k = \sum_{i=1}^k \delta_{x_i}$ la mesure empirique définie par x_1, \dots, x_k

$$\rightarrow \mathbf{M}(\xi_k, \theta) = \frac{1}{k} \sum_{i=1}^k \mathbf{f}_\theta(x_i) \mathbf{f}_\theta^\top(x_i)$$

On espère que $\hat{\theta}^n \xrightarrow{\text{p.s.}} \bar{\theta}$ et $\sqrt{n}(\hat{\theta}^n - \bar{\theta}) \xrightarrow{d} \mathcal{N}(\mathbf{0}, \mathbf{M}^{-1}[\xi_D^*(\bar{\theta}), \bar{\theta}])$

1)
Introduction

2)
Planification
séquentielle
D-optimale

3)
Planification
D-optimale
avec
contrainte

4)
Planification
séquentielle
D-optimale
pénalisée

5) Exemples

6) Conclusions

Estimateur des MC en régression non-linéaire

$Y_i = \eta(x_i, \bar{\theta}) + \varepsilon_i$, $x_i \in \mathcal{X} \subset \mathbb{R}^d$, $\bar{\theta} \in \Theta \subset \mathbb{R}^p$, $\{\varepsilon_i\}$ i.i.d.,
variance σ^2

Estimation par MC: $\hat{\theta}^n = \arg \min_{\theta \in \Theta} S_n(\theta)$ avec

$$S_n(\theta) = \sum_{i=1}^n [Y_i - \eta(x_i, \theta)]^2$$

Les conditions pour la convergence forte de $\hat{\theta}^n$ vers $\bar{\theta}$ sont très différentes suivant que les x_k sont des constantes ou dépendent des ε_i , $i < k$

$\{x_i\}$ = suite déterministe

Définissons $D_n(\theta, \bar{\theta}) = \sum_{k=1}^n [\eta(x_k, \theta) - \eta(x_k, \bar{\theta})]^2$

[Jennrich 1969]: $\hat{\theta}^n \xrightarrow{\text{P.S.}} \bar{\theta}$ quand $D_n(\theta, \theta')/n \rightarrow J(\theta, \theta')$

(uniformément) avec $J(\theta, \theta')$ continue et > 0 pour tout $\theta \neq \theta'$

- 1) Introduction
- 2) Planification séquentielle *D*-optimale
- 3) Planification *D*-optimale avec contrainte
- 4) Planification séquentielle *D*-optimale pénalisée
- 5) Exemples
- 6) Conclusions

↪ pour un modèle linéaire, $\eta(x, \theta) = \mathbf{f}^\top(x)\theta$: condition équivalente à $(1/n)[\mathbf{X}_n^\top \mathbf{X}_n] \rightarrow \mathbf{M}$ définie-positive avec $\mathbf{X}_n = [\mathbf{f}(x_1), \dots, \mathbf{f}(x_n)]^\top$

⇒ beaucoup plus fort que la CNS pour la CV forte de $\hat{\theta}^n$: $\lambda_{\min}[\mathbf{X}_n^\top \mathbf{X}_n] \rightarrow \infty$

L'analogie de cette CNS en régression non-linéaire serait : $D_n(\theta, \theta') \rightarrow \infty \forall \theta \neq \theta'$ ([Wu 1981] : suffisant pour $\hat{\theta}^n \xrightarrow{\text{a.s.}} \bar{\theta}$ quand Θ est fini, nécessaire pour l'existence d'un estimateur faiblement convergent)

x_i dépend de $\varepsilon_{i-1}, \varepsilon_{i-2} \dots$

En particulier : planification séquentielle (x_i dépend de $\hat{\theta}^{i-1}$)

⇒ Régression linéaire

[Lai & Wei 1982] :

$\lambda_{\min}[\mathbf{X}_n^\top \mathbf{X}_n] \xrightarrow{\text{p.s.}} \infty$ et

$\{\log \lambda_{\max}[\mathbf{X}_n^\top \mathbf{X}_n]\}^\rho / \lambda_{\min}[\mathbf{X}_n^\top \mathbf{X}_n] \xrightarrow{\text{p.s.}} 0$ pour un $\rho > 1$
 ⇒ $\hat{\theta}^n \xrightarrow{\text{p.s.}} \bar{\theta}$ (~ condition la plus faible possible)

1)
Introduction

2)
Planification
séquentielle
D-optimale

3)
Planification
D-optimale
avec
contrainte

4)
Planification
séquentielle
D-optimale
pénalisée

5) Exemples

6) Conclusions

1)
Introduction

2)
Planification
séquentielle
D-optimale

3)
Planification
D-optimale
avec
contrainte

4)
Planification
séquentielle
D-optimale
pénalisée

5) Exemples

6) Conclusions

⇒ Régression non-linéaire

[Lai 1994] → CS qui donne pour un modèle linéaire la condition de [Christopeit & Helmes 1980] :

$$\lambda_{\max}[\mathbf{X}_n^T \mathbf{X}_n] = \mathcal{O}\{\lambda_{\min}^{\rho}[\mathbf{X}_n^T \mathbf{X}_n]\} \text{ p.s. pour un } \rho \in (1,2)$$

⇒ Explique pourquoi en planification séquentielle, pour assurer la CV forte de $\hat{\theta}^n$ on impose un choix déterministe de x_k quand $k \in \{k_1, k_2, \dots\}$, avec $k_i = i^{\alpha}$, $\alpha \in (1,2)$ [Lai 1994]

Revenons à notre problème...

Planification totalement séquentielle («full sequential

design»): choisir x_1, \dots, x_{n_0} , estimer $\hat{\theta}^{n_0}$, poser $k = n_0$ puis

- ▶ planifier x_{k+1}
- ▶ observer Y_{k+1}
- ▶ ré-estimer $\hat{\theta}^{k+1}$
- ▶ $k \leftarrow k + 1 \dots$

D-optimalité :

$$x_{k+1} = \arg \max_{x \in \mathcal{X}} \det \left[\sum_{i=1}^k \mathbf{f}_{\hat{\theta}^k}(x_i) \mathbf{f}_{\hat{\theta}^k}^\top(x_i) + \mathbf{f}_{\hat{\theta}^k}(x) \mathbf{f}_{\hat{\theta}^k}^\top(x) \right]$$

ou encore

$$x_{k+1} = \arg \max_{x \in \mathcal{X}} \mathbf{f}_{\hat{\theta}^k}^\top(x) \mathbf{M}^{-1}(\xi_k, \hat{\theta}^k) \mathbf{f}_{\hat{\theta}^k}(x) \quad \text{avec}$$

$\xi_k = \sum_{i=1}^k \delta_{x_i}$ la mesure empirique définie par x_1, \dots, x_k

$$\rightarrow \mathbf{M}(\xi_k, \theta) = \frac{1}{k} \sum_{i=1}^k \mathbf{f}_\theta(x_i) \mathbf{f}_\theta^\top(x_i)$$

On espère que $\hat{\theta}^n \xrightarrow{\text{p.s.}} \bar{\theta}$ et $\sqrt{n}(\hat{\theta}^n - \bar{\theta}) \xrightarrow{d} \mathcal{N}(\mathbf{0}, \mathbf{M}^{-1}[\xi_D^*(\bar{\theta}), \bar{\theta}])$

- 1) Introduction
- 2) Planification séquentielle *D*-optimale
- 3) Planification *D*-optimale avec contrainte
- 4) Planification séquentielle *D*-optimale pénalisée
- 5) Exemples
- 6) Conclusions

2) Planification séquentielle D -optimale

Pour $n_0 \leq k < n$,

$$x_{k+1} = \arg \max_{x \in \mathcal{X}} \mathbf{f}_{\hat{\theta}^k}^\top(x) \mathbf{M}^{-1}(\xi_k, \hat{\theta}^k) \mathbf{f}_{\hat{\theta}^k}(x)$$

Comment assurer que $\hat{\theta}^n \xrightarrow{\text{p.s.}} \bar{\theta}$ et

$\sqrt{n}(\hat{\theta}^n - \bar{\theta}) \xrightarrow{d} \mathcal{N}(\mathbf{0}, \mathbf{M}^{-1}[\xi_D^*(\bar{\theta}), \bar{\theta}])$ quand $n \rightarrow \infty$?

Pas facile au vu de ce qui précède...

- 1) choix déterministe de x_k quand $k \in \{k_1, k_2, \dots\}$, avec $k_j = i^\alpha$, $\alpha \in (1, 2)$ [Lai 1994]
- 2) faire croître n_0 vers $l' \infty$ en même temps que n
- 3) supposer que \mathcal{X} est un ensemble fini
 \Rightarrow répétitions de mesures

1)
Introduction

2)
Planification
séquentielle
 D -optimale

3)
Planification
 D -optimale
avec
contrainte

4)
Planification
séquentielle
 D -optimale
pénalisée

5) Exemples

6) Conclusions

\mathcal{X} est un ensemble fini $\mathcal{X} = \{x^{(1)}, \dots, x^{(K)}\}$

Convergence de $\hat{\theta}^n$ vers $\bar{\theta}$: tout va bien si

$D_n(\theta, \bar{\theta}) = \sum_{k=1}^n [\eta(x_i, \theta) - \eta(x_i, \bar{\theta})]^2$ tend vers l'infini assez vite pour tout $\theta \neq \bar{\theta}$

Théorème 1 : convergence [LP, S&P Letters, 2009]

Si $D_n(\theta, \bar{\theta}) = \sum_{k=1}^n [\eta(x_i, \theta) - \eta(x_i, \bar{\theta})]^2$ vérifie

$$\text{pour tout } \delta > 0, \left[\inf_{\|\theta - \bar{\theta}\| \geq \delta / \tau_n} D_n(\theta, \bar{\theta}) \right] / (\log \log n) \xrightarrow{\text{p.s.}} \infty$$

avec \mathcal{X} fini et $\{\tau_n\}$ une suite non-décroissante de constantes positives, alors $\hat{\theta}^n$ satisfait $\tau_n \|\hat{\theta}^n - \bar{\theta}\| \xrightarrow{\text{p.s.}} 0$

(Remplacer $\log \log n$ par $(\log n)^\rho$, $\rho > 1$, si les ε_i forment une suite de différences de martingales)

1)
Introduction

2)
Planification
séquentielle
D-optimale

3)
Planification
D-optimale
avec
contrainte

4)
Planification
séquentielle
D-optimale
pénalisée

5) Exemples

6) Conclusions

Théorème 2 : normalité asymptotique [LP, S&P Letters, 2009]

S'il existe une suite de matrices \mathbf{C}_n symétriques déf. pos. telles que $\mathbf{C}_n^{-1} \mathbf{M}^{1/2}(\xi_n, \bar{\theta}) \xrightarrow{p} \mathbf{I}$ avec $c_n = \lambda_{\min}(\mathbf{C}_n)$ et $D_n(\theta, \bar{\theta})$ satisfaisant $n^{1/4} c_n \rightarrow \infty$ et

$$\text{pour tout } \delta > 0, \left[\inf_{\|\theta - \bar{\theta}\| \geq c_n^2 \delta} D_n(\theta, \bar{\theta}) \right] / (\log \log n) \xrightarrow{\text{p.s.}} \infty$$

alors $\hat{\theta}^n$ satisfait $\sqrt{n} \mathbf{M}^{1/2}(\xi_n, \hat{\theta}^n)(\hat{\theta}^n - \bar{\theta}) \xrightarrow{d} \mathcal{N}(\mathbf{0}, \mathbf{I})$

☞ On applique ceci à

$$x_{k+1} = \arg \max_{x \in \mathcal{X}} \mathbf{f}_{\hat{\theta}^k}^\top(x) \mathbf{M}^{-1}(\xi_k, \hat{\theta}^k) \mathbf{f}_{\hat{\theta}^k}(x)$$

$$\Rightarrow \hat{\theta}^n \xrightarrow{\text{p.s.}} \bar{\theta}$$

$$\Rightarrow \mathbf{M}(\xi_n, \hat{\theta}^n) \xrightarrow{\text{p.s.}} \mathbf{M}[\xi_D^*(\bar{\theta}), \bar{\theta}]$$

$$\Rightarrow [n \mathbf{M}(\xi_n, \hat{\theta}^n)]^{1/2} (\hat{\theta}^n - \bar{\theta}) \xrightarrow{d} \mathcal{N}(\mathbf{0}, \mathbf{I})$$

1)
Introduction

2)
Planification
séquentielle
D-optimale

3)
Planification
D-optimale
avec
contrainte

4)
Planification
séquentielle
D-optimale
pénalisée

5) Exemples

6) Conclusions

Tout ce qui précède reste vrai pour des expériences de type Bernoulli,

avec $Y_i \in \{0,1\}$ (succès ou échec),

$\eta(x, \theta) = \text{Prob}(Y_i = 1 | x_i = x, \theta)$

et $\hat{\theta}^n$ l'estimateur du maximum de vraisemblance :

$$\hat{\theta}^n = \arg \max_{\theta \in \Theta} \sum_{i=1}^n \{ Y_i \log[\eta(x_i, \theta)] + (1 - Y_i) \log[1 - \eta(x_i, \theta)] \}$$

La matrice d'information de Fisher est donnée par

$$\mathbf{M}(\xi, \theta) = \int_{\mathcal{X}} \mathbf{f}_{\theta}(x) \mathbf{f}_{\theta}^{\top}(x) \xi(dx)$$

avec

$$\mathbf{f}_{\theta}(x) = \{ \eta(x, \theta) [1 - \eta(x, \theta)] \}^{-1/2} \frac{\partial \eta(x, \theta)}{\partial \theta}$$

1)
Introduction

2)
Planification
séquentielle
D-optimale

3)
Planification
D-optimale
avec
contrainte

4)
Planification
séquentielle
D-optimale
pénalisée

5) Exemples

6) Conclusions

3) Planification D -optimale avec contrainte

Maximiser $\log \det \mathbf{M}(\xi, \theta)$ sous la contrainte $\Phi(\xi, \theta) \leq C$
avec $\Phi(\xi, \theta) = \int_{\mathcal{X}} \phi(x, \theta) \xi(dx)$

($\phi(x, \theta)$ = coût d'une observation en x)

CNS pour l'optimalité de ξ^* :

$\Phi(\xi^*, \theta) \leq C$ et il existe $\lambda^* = \lambda^*(C, \theta) \geq 0$ tel que

$$\begin{cases} \lambda^*[C - \Phi(\xi^*, \theta)] = 0 \\ \forall x \in \mathcal{X}, \mathbf{f}_\theta^\top(x) \mathbf{M}^{-1}(\xi^*, \theta) \mathbf{f}_\theta(x) \leq \rho + \lambda^*[\phi(x, \theta) - \Phi(\xi^*, \theta)] \end{cases}$$

☞ En pratique :

maximiser $H_\theta(\xi, \lambda) = \log \det \mathbf{M}(\xi, \theta) - \lambda \Phi(\xi, \theta)$ pour une suite $\{\lambda_i\}$ croissante de facteurs multiplicatifs de Lagrange, en partant de $\lambda_0 = 0$ et en s'arrêtant au 1^{er} λ_i pour lequel $\xi^*(\lambda_i)$ satisfait $\Phi[\xi^*(\lambda_i), \theta] \leq C$ [Mikulecká 1983]

⇒ pas plus compliqué que la recherche d'un plan D -optimal !

- 1) Introduction
- 2) Planification séquentielle D -optimale
- 3) Planification D -optimale avec contrainte
- 4) Planification séquentielle D -optimale pénalisée
- 5) Exemples
- 6) Conclusions

Problème de dose-réponse en essai de médicament :

Définir $\phi(x, \theta)$ à partir de la probabilité de succès (efficacité, pas de toxicité)

[Dragalin & Fedorov 2006; Dragalin, Fedorov & Wu 2008]

⇨ λ dans $H_\theta(\xi, \lambda) = \log \det \mathbf{M}(\xi, \theta) - \lambda \Phi(\xi, \theta)$ établit un compromis entre

- le gain d'information (pb. d'éthique collective) et
- le rejet de doses inefficaces ou toxiques (pb. d'éthique pour les patients enrôlés)

Si la fonction $\phi(x, \theta)$ est suffisamment plate autour de son minimum, les points de support de $\xi^*(\lambda)$, optimal pour $H_\theta(\xi, \lambda)$, se concentrent autour de $x^* = \arg \min_{x \in \mathcal{X}} \phi(x, \theta)$ quand $\lambda \rightarrow \infty$

1)
Introduction

2)
Planification
séquentielle
D-optimale

3)
Planification
D-optimale
avec
contrainte

4)
Planification
séquentielle
D-optimale
pénalisée

5) Exemples

6) Conclusions

Example 1 [Dragalin & Fedorov 2006]

Modèle de Cox pour des réponse bivariées : $Y \rightarrow$ efficacité,
 $Z \rightarrow$ toxicité

11 doses disponibles, équiréparties dans $[-3,3]$,

$\mathcal{X} = \{x^{(1)}, \dots, x^{(11)}\}$, $x^{(i)} < x^{(i+1)}$, $i = 1, \dots, 10$

$\text{Prob}\{Y = y, Z = z | x, \theta\} = \pi_{yz}(x, \theta)$, $Y, y, Z, z \in \{0, 1\}$

$\theta = (a_{11}, b_{11}, a_{10}, b_{10}, a_{01}, b_{01})^\top = (3, 3, 4, 2, 0, 2)^\top \in \mathbb{R}^6$

$$\pi_{11}(x, \theta) = \frac{e^{a_{11} + b_{11}x}}{1 + e^{a_{01} + b_{01}x} + e^{a_{10} + b_{10}x} + e^{a_{11} + b_{11}x}}$$

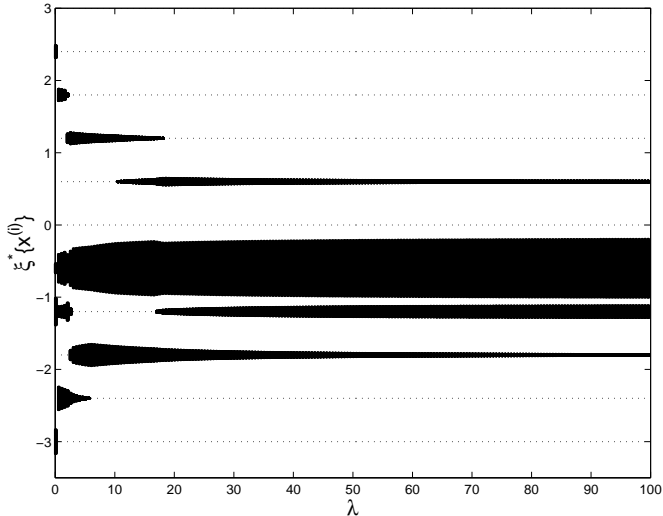
$$\pi_{10}(x, \theta) = \frac{e^{a_{10} + b_{10}x}}{1 + e^{a_{01} + b_{01}x} + e^{a_{10} + b_{10}x} + e^{a_{11} + b_{11}x}}$$

$$\pi_{01}(x, \theta) = \frac{e^{a_{01} + b_{01}x}}{1 + e^{a_{01} + b_{01}x} + e^{a_{10} + b_{10}x} + e^{a_{11} + b_{11}x}}$$

$$\pi_{00}(x, \theta) = \left(1 + e^{a_{01} + b_{01}x} + e^{a_{10} + b_{10}x} + e^{a_{11} + b_{11}x}\right)^{-1}$$

- 1) Introduction
- 2) Planification séquentielle D-optimale
- 3) Planification D-optimale avec contrainte
- 4) Planification séquentielle D-optimale pénalisée
- 5) Exemples
- 6) Conclusions

$\phi_1(x, \theta) = \pi_{10}^{-1}(x, \theta)$ (π_{10} = efficacité et pas de toxicité)
Dose optimale x^* : minimise $\phi_1(x, \theta) \rightarrow x^* = x^{(5)} = -0.6$

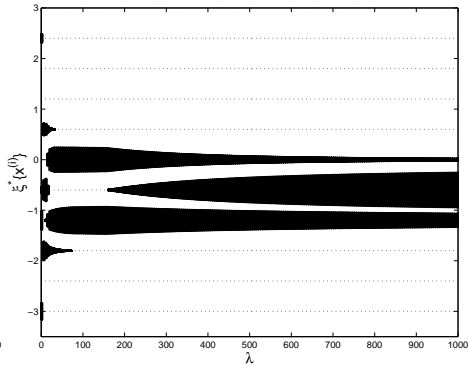
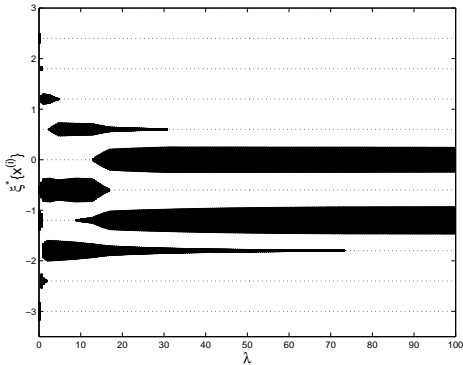


- 1) Introduction
- 2) Planification séquentielle *D*-optimale
- 3) Planification *D*-optimale avec contrainte
- 4) Planification séquentielle *D*-optimale pénalisée
- 5) Exemples
- 6) Conclusions

Autre fonction de coût :

$$\phi_2(x, \theta) = \{\pi_{10}^{-1}(x, \theta) - [\max_x \pi_{10}(x, \theta)]^{-1}\}^2$$

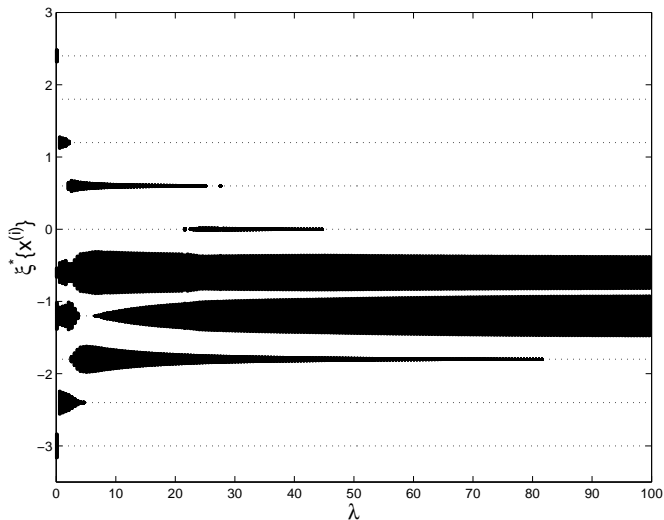
(plus plate que $\phi_1(x, \theta)$ autour de x^*)



Autre fonction coût : (plus d'importance accordée à la toxicité)

$\phi_3(x, \theta) = \pi_{10}^{-1}(x, \theta)[1 - \pi_{\cdot 1}(x, \theta)]^{-1}$ avec

$\pi_{\cdot 1}(x, \theta) = \pi_{01}(x, \theta) + \pi_{11}(x, \theta) =$ probabilité marginale de toxicité ($\phi_3(x, \theta)$ minimum en $x^{(4)} = -1.2$)



4) Planification séquentielle D -optimale pénalisée

$$x_{k+1} = \arg \max_{x \in \mathcal{X}} \left\{ \mathbf{f}_{\hat{\theta}^k}^\top \mathbf{M}^{-1}(\xi_k, \hat{\theta}^k) \mathbf{f}_{\hat{\theta}^k} - \lambda_k \phi(x, \hat{\theta}^k) \right\}$$

De nouveau : construction séquentielle \Rightarrow perte d'indépendance

\Rightarrow On utilise l'hypothèse que \mathcal{X} est fini : $\mathcal{X} = \{x^{(1)}, \dots, x^{(K)}\}$

- ▶ Si $\lambda_k = \text{constante } \lambda$ (et $|\phi(x, \theta)|$ borné) :

$$\Rightarrow \hat{\theta}^n \xrightarrow{\text{p.s.}} \bar{\theta} \text{ et } \sqrt{n} \mathbf{M}^{1/2}(\xi_n, \hat{\theta}^n) (\hat{\theta}^n - \bar{\theta}) \xrightarrow{d} \mathcal{N}(\mathbf{0}, \mathbf{I})$$

- ▶ Si de plus $\dots \phi(x, \theta)$ continue en θ pour tout x :

$$\Rightarrow \mathbf{M}(\xi_n, \bar{\theta}) \rightarrow \mathbf{M}^*(\bar{\theta}), \text{ optimale pour le critère } \log \det \mathbf{M}(\xi, \bar{\theta}) - \lambda \Phi(\xi, \bar{\theta})$$

- ▶ Egalement vrai si

$\lambda_k = \text{fonction mesurable bornée de } x_1, Y_1, \dots, x_k, Y_k$

(ex. : $\lambda_k = \lambda^*(\hat{\theta}^k) = \text{coefficient de Lagrange optimal pour la minimisation de } \log \det \mathbf{M}(\xi, \hat{\theta}^k) \text{ sous la contrainte } \Phi(\xi, \hat{\theta}^k) \leq C$)

- 1) Introduction
- 2) Planification séquentielle D -optimale
- 3) Planification D -optimale avec contrainte
- 4) Planification séquentielle D -optimale pénalisée
- 5) Exemples
- 6) Conclusions

- Si $\lambda_k \nearrow \infty$, $(\lambda_k \log \log k)/k \rightarrow 0$, alors $\hat{\theta}^n \xrightarrow{\text{P.S.}} \bar{\theta}$
de plus, convergence vers un plan à coût minimum :

$$\Phi(\xi_n, \bar{\theta}) = \frac{1}{n} \sum_{i=1}^n \phi(x_i, \bar{\theta}) \xrightarrow{\text{P.S.}} \phi_{\bar{\theta}}^* = \min_{x \in \mathcal{X}} \phi(x, \bar{\theta})$$

... et $\xi_N(x^{(i^*)}) \xrightarrow{\text{P.S.}} 1$ si $\phi(x, \bar{\theta})$ a un seul minimum en $x^{(i^*)} \in \mathcal{X} = \{x^{(1)}, \dots, x^{(K)}\}$

⇒ On peut donc optimiser $\sum_{i=1}^n \phi(x_i, \bar{\theta})$ sans connaître $\bar{\theta}$:
optimisation auto-ajustée

$$x_{k+1} = \arg \max_{x \in \mathcal{X}} \left\{ \mathbf{f}_{\hat{\theta}^k}^\top \mathbf{M}^{-1}(\xi_k, \hat{\theta}^k) \mathbf{f}_{\hat{\theta}^k} - \lambda_k \phi(x, \hat{\theta}^k) \right\}$$

Déjà proposé en régression linéaire ($\eta(x, \theta)$ linéaire en θ)
[Åström & Wittenmark, 1989], condition sur λ_k dans [LP, AS
2000]

Ici MC en régression non-linéaire, ou max. de vraisemblance,
mais avec \mathcal{X} fini

Attention : $x_{k+1} = \arg \min_{x \in \mathcal{X}} \phi(x, \hat{\theta}^k)$ ne marche pas
toujours !

1)
Introduction

2)
Planification
séquentielle
D-optimale

3)
Planification
D-optimale
avec
contrainte

4)
Planification
séquentielle
D-optimale
pénalisée

5) Exemples

6) Conclusions

Exemple 2 (régulateur auto-ajusté)

Recherche de x^* tel que $\psi(x, \bar{\theta}) = T \rightarrow$ minimiser
 $\phi(x, \bar{\theta}) = [\psi(x, \bar{\theta}) - T]^2$

- ▶ Modèle de Michaelis-Menten:

$$Y_i = \frac{\bar{\theta}_1 x}{\bar{\theta}_2 + x} + \varepsilon_i, \{\varepsilon_i\} \text{ i.i.d. } \mathcal{N}(0,1)$$

- ▶ Fonction à minimiser:

$$T = 1/2 \Rightarrow \phi(x, \theta) = \left[\frac{\theta_1 x}{\theta_2 + x} - \frac{1}{2} \right]^2,$$

- ▶ $x \in [0,10]$, (grille de 1001 points)

- ▶ Simulation avec $\bar{\theta} = (1,1)^\top$

$$\Rightarrow \eta(x, \bar{\theta}) = x/(1+x), x^* = 1 \text{ (et } \phi(x^*, \bar{\theta}) = 0)$$

- ▶ $\lambda_k = (\log k)^8$

- 1) Introduction
- 2) Planification séquentielle D -optimale
- 3) Planification D -optimale avec contrainte
- 4) Planification séquentielle D -optimale pénalisée
- 5) Exemples
- 6) Conclusions

Ici, $\psi(x, \theta) = \eta(x, \theta) \rightarrow$ on observe directement $\psi(x_i, \bar{\theta}) + \varepsilon_i$

$\Psi(x, \bar{\theta})$ estimable si $\{x_n\}$ a un point d'accumulation en x

\Rightarrow il n'est pas nécessaire d'estimer $\bar{\theta}$

(il suffit d'estimer correctement le signe de la dérivée de

$\Psi(x, \bar{\theta})$ en x^* tel que $\Psi(x^*, \bar{\theta}) = T$)

$$x_{k+1} = \arg \max_{x \in \mathcal{X}} \left\{ \mathbf{f}_{\hat{\theta}^k}^\top \mathbf{M}^{-1}(\xi_k, \hat{\theta}^k) \mathbf{f}_{\hat{\theta}^k} - \lambda_k \phi(x, \hat{\theta}^k) \right\}$$

fonctionne dès que $\lambda_k \rightarrow \infty$

Dans ce cas particulier, on peut prendre aussi

$x_{k+1} = \arg \min_{x \in \mathcal{X}} \phi(x, \hat{\theta}^k)$ («best intention design»,
«continual reassessment method», «forced certainty
equivalence»)

- 1) Introduction
- 2) Planification séquentielle D-optimale
- 3) Planification D-optimale avec contrainte
- 4) Planification séquentielle D-optimale pénalisée
- 5) Exemples
- 6) Conclusions

Méthode alternative [Lai & Robbins 1978] :

$$x_{k+1} = x_k - \frac{Y_k - T}{k \hat{\beta}^k}$$

avec

$$\hat{\beta}^k = \frac{\sum_{i=1}^k (x_i - \bar{x}_k)(Y_i - \bar{Y}_k)}{\sum_{i=1}^k (x_i - \bar{x}_k)^2} \text{ tronqué à } [\underline{\beta}, \bar{\beta}]$$

$\hat{\beta}^k$ = estimateur des MC pour $Y_i = T + \beta(x_i - x^*) + \varepsilon_i$

$\hat{\beta}^k$ = constante \rightarrow approximation stochastique

[Robbins-Monro, 1951]

- 1) Introduction
- 2) Planification séquentielle D-optimale
- 3) Planification D-optimale avec contrainte
- 4) Planification séquentielle D-optimale pénalisée
- 5) Exemples
- 6) Conclusions

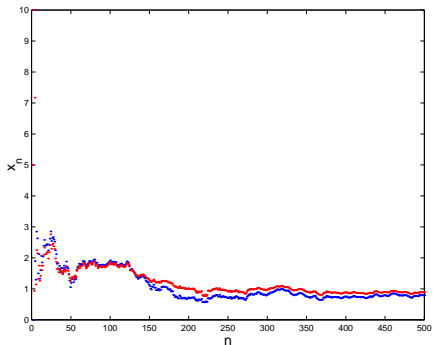
$$x_{k+1} = \arg \max_{x \in \mathcal{X}} \left\{ \mathbf{f}_{\hat{\theta}^k}^\top \mathbf{M}^{-1}(\xi_k, \hat{\theta}^k) \mathbf{f}_{\hat{\theta}^k} - \lambda_k \phi(x, \hat{\theta}^k) \right\}$$

\approx même chose pour $x_{k+1} = \arg \min_{x \in \mathcal{X}} \phi(x, \hat{\theta}^k)$

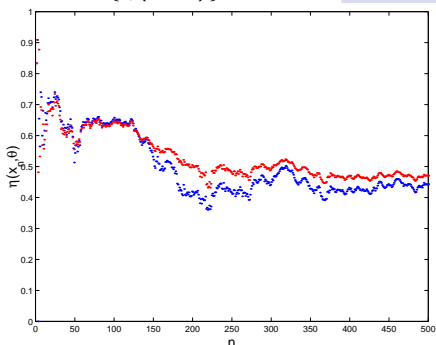
($\hat{\theta}^k$ tronqué à $\theta_1 > 1/3$, $\theta_2 > 10^{-2}$)

$$x_{k+1} = x_k - \frac{Y_k - T}{k \hat{\beta}_k} \quad (\hat{\beta}_k \text{ tronqué à } [10^{-2}, 5])$$

→ suite $\{x_n\}$



→ suite $\{\eta(x_n, \bar{\theta})\}$



- 1) Introduction
- 2) Planification séquentielle D-optimale
- 3) Planification

Exemple 3 (régulateur auto-ajusté – suite)

- ▶ \approx Exemple 2, $Y_i = \frac{\bar{\theta}_1 x}{\theta_2 + x} + \varepsilon_i$, $\{\varepsilon_i\}$ i.i.d. $\mathcal{N}(0,0.1)$
- ▶ mais à présent

$$\Psi(x, \theta) = \theta_1 [1 - \exp(-\theta_2 x/3)] \neq \eta(x, \bar{\theta})$$

$$(\bar{\theta} = (1,1)^\top \Rightarrow \Psi(x^*, \bar{\theta}) = 1/2 \text{ pour } x^* = 3 \log(2) \simeq 2.08)$$

- ▶ Plus difficile que l'exemple 2 : on n'observe pas $\Psi(x, \bar{\theta})$!

- ▶ $x_1 = 1$, $x_2 = 10$, puis

$$x_{k+1} = \arg \max_{x \in \mathcal{X}} \left\{ \mathbf{f}_{\hat{\theta}^k}^\top \mathbf{M}^{-1}(\xi_k, \hat{\theta}^k) \mathbf{f}_{\hat{\theta}^k} - \lambda_k \phi(x, \hat{\theta}^k) \right\}$$

pour 3 suites $\{\lambda_k\}$

- ▶ (a) $\lambda_k = \log^2 k$
- ▶ (b) $\lambda_k = k/(1 + \log^2 k)$
- ▶ (c) $\lambda_k = k^{1.1}$

1)
Introduction

2)
Planification
séquentielle
D-optimale

3)
Planification
D-optimale
avec
contrainte

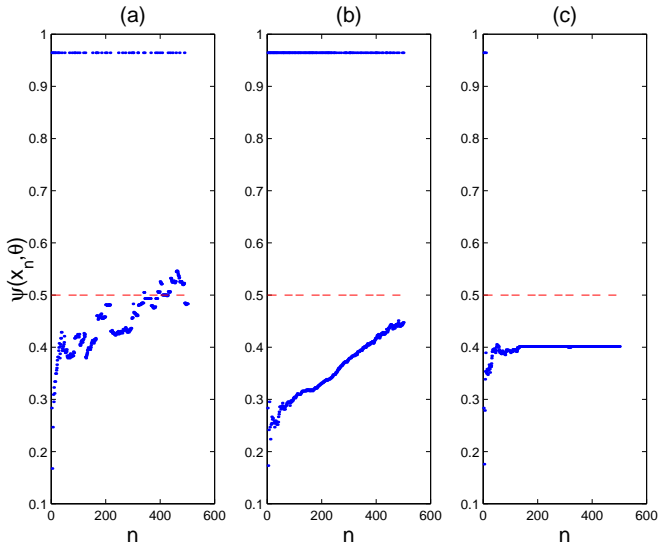
4)
Planification
séquentielle
D-optimale
pénalisée

5) Exemples

6) Conclusions

→ $\Psi(x_k, \bar{\theta})$, $k = 1, \dots, 500$

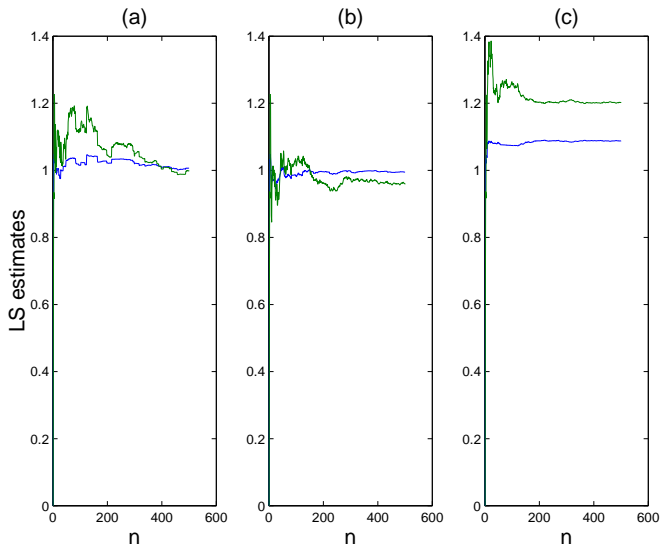
(a) $\lambda_k = \log^2 k$ (b) $\lambda_k = k/(1 + \log^2 k)$ (c) $\lambda_k = k^{1.1}$



- 1) Introduction
- 2) Planification séquentielle *D*-optimale
- 3) Planification *D*-optimale avec contrainte
- 4) Planification séquentielle *D*-optimale pénalisée
- 5) Exemples
- 6) Conclusions

→ $\hat{\theta}^k, k = 1, \dots, 500$

(a) $\lambda_k = \log^2 k$ (b) $\lambda_k = k/(1 + \log^2 k)$ (c) $\lambda_k = k^{1.1}$



- 1) Introduction
- 2) Planification séquentielle D -optimale
- 3) Planification D -optimale avec contrainte
- 4) Planification séquentielle D -optimale pénalisée
- 5) Exemples
- 6) Conclusions

Example 4 (optimiseur auto-ajusté)

- ▶ Modèle [Box & Lucas, 1959]:

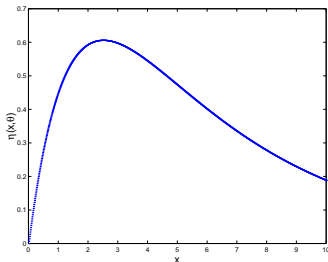
$$Y_i = \eta(x_i, \bar{\theta}) + \varepsilon_i, \{\varepsilon_i\} \text{ i.i.d. } \mathcal{N}(0, \sigma^2)$$

$$\eta(x, \theta) = \frac{\theta_1}{\theta_1 - \theta_2} [\exp(-\theta_2 x) - \exp(-\theta_1 x)]$$

- ▶ On veut maximiser $\eta(x, \bar{\theta})$, $x \in [0, 10]$, grille de 1001 points

- ▶ $\bar{\theta} = (0.7, 0.2)^\top$

$$\Rightarrow \xi_D^* = \frac{1}{2} \delta_{x^{(1)}} + \frac{1}{2} \delta_{x^{(2)}} \text{ avec } x^{(1)} \simeq 1.25 \text{ et } x^{(2)} \simeq 6.60$$
$$x^* = 2.51, \eta(x^*, \bar{\theta}) = \max_{x \in \mathcal{X}} \eta(x, \bar{\theta}) \simeq 0.606$$



- 1) Introduction
- 2) Planification séquentielle D-optimale
- 3) Planification D-optimale avec contrainte
- 4) Planification séquentielle D-optimale pénalisée
- 5) Exemples
- 6) Conclusions

► $x_1 = 1.25$, $x_2 = 6.6$, puis

$$x_{k+1} = \arg \max_{x \in \mathcal{X}} \left\{ \mathbf{f}_{\hat{\theta}^k}^\top \mathbf{M}^{-1}(\xi_k, \hat{\theta}^k) \mathbf{f}_{\hat{\theta}^k} - \lambda_k \phi(x, \hat{\theta}^k) \right\}$$

pour 3 suites $\{\lambda_k\}$

- (a) $\lambda_k = \log^2 k$
- (b) $\lambda_k = k/(1 + \log^2 k)$
- (c) $\lambda_k = k^{1.1}$

1)
Introduction

2)
Planification
séquentielle
D-optimale

3)
Planification
D-optimale
avec
contrainte

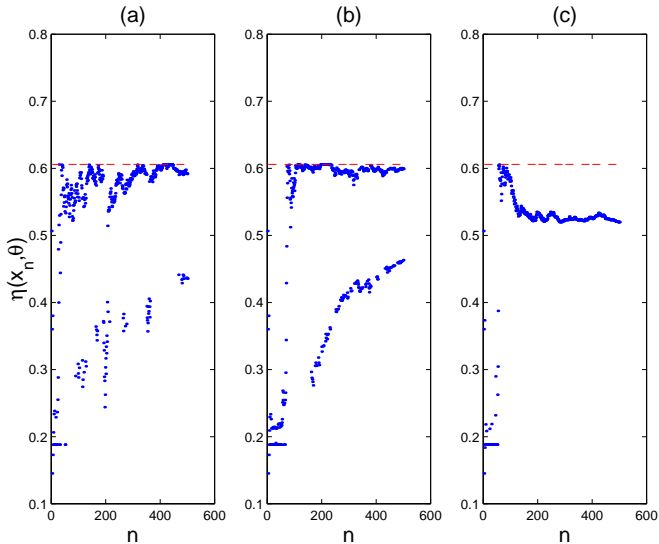
4)
Planification
séquentielle
D-optimale
pénalisée

5) Exemples

6) Conclusions

$\rightarrow \eta(x_k, \bar{\theta}), k = 1, \dots, 500, \sigma = 1$

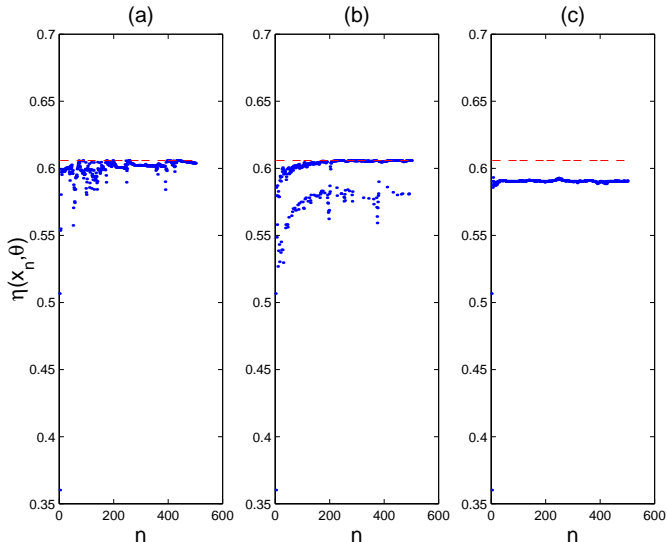
(a) $\lambda_k = \log^2 k$ (b) $\lambda_k = k/(1 + \log^2 k)$ (c) $\lambda_k = k^{1.1}$



- 1) Introduction
- 2) Planification séquentielle *D*-optimale
- 3) Planification *D*-optimale avec contrainte
- 4) Planification séquentielle *D*-optimale pénalisée
- 5) Exemples
- 6) Conclusions

$\rightarrow \eta(x_k, \bar{\theta}), k = 1, \dots, 500, \sigma = 0.1$

(a) $\lambda_k = 10 \log^2 k$ (b) $\lambda_k = 10 k / (1 + \log^2 k)$ (c) $\lambda_k = 10 k^{1.1}$



- 1) Introduction
- 2) Planification séquentielle *D*-optimale
- 3) Planification *D*-optimale avec contrainte
- 4) Planification séquentielle *D*-optimale pénalisée
- 5) Exemples
- 6) Conclusions

Exemple 1 [Dragalin & Fedorov 2006] (suite)

Essais cliniques: 11 doses, Y pour efficacité, Z pour toxicité,
36 patients

Méthode «up and down» [Ivanova 2003]

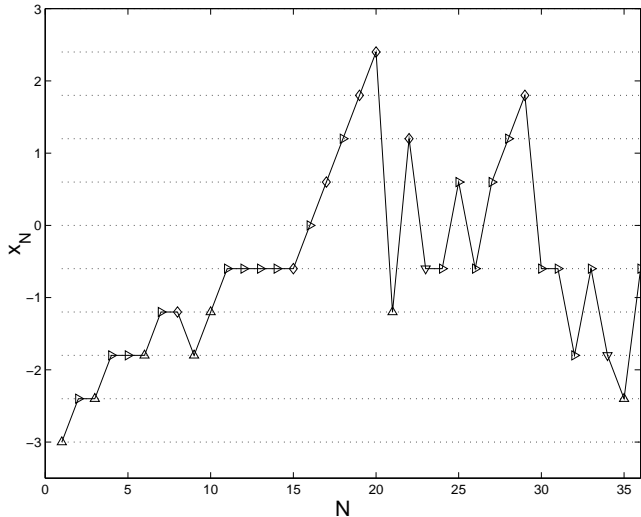
$$x_{N+1} = \begin{cases} \max\{x^{(i_N-1)}, x^{(1)}\} & \searrow & \text{si } Z_N = 1, \\ x^{(i_N)} & \longrightarrow & \text{si } Y_N = 1 \text{ et } Z_N = 0, \\ \min\{x^{(i_N+1)}, x^{(11)}\} & \nearrow & \text{si } Y_N = 0 \text{ et } Z_N = 0, \end{cases}$$

pour les 10 premiers patients, puis **planification séquentielle D -optimale pénalisée** à la première toxicité observée (avec accroissement d'au plus une dose à chaque pas [Dragalin & Fedorov 2006])

- 1) Introduction
- 2) Planification séquentielle D -optimale
- 3) Planification D -optimale avec contrainte
- 4) Planification séquentielle D -optimale pénalisée
- 5) Exemples
- 6) Conclusions

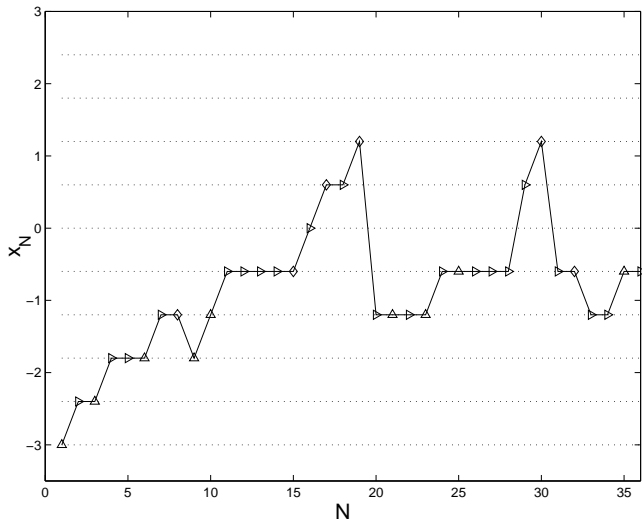
\triangle pour $(Y = 0, Z = 0)$, \triangleright pour $(Y = 1, Z = 0)$, \diamond pour $(Y = 1, Z = 1)$ et ∇ pour $(Y = 0, Z = 1)$

Fonction de pénalisation $\phi_1(x, \theta) = \pi_{10}^{-1}(x, \theta)$



- 1) Introduction
- 2) Planification séquentielle D-optimale
- 3) Planification D-optimale avec contrainte
- 4) Planification séquentielle D-optimale pénalisée
- 5) Exemples
- 6) Conclusions

Fonction de pénalisation $\phi_3(x, \theta) = \pi_{10}^{-1}(x, \theta)[1 - \pi_{.1}(x, \theta)]^{-1}$



- 1) Introduction
- 2) Planification séquentielle *D*-optimale
- 3) Planification *D*-optimale avec contrainte
- 4) Planification séquentielle *D*-optimale pénalisée
- 5) Exemples
- 6) Conclusions

(36 patients, 1000 répétitions)

| design | $\Phi_1(\xi, \theta)$ | $\psi(\xi, \theta)$ | $\widehat{x^*}_{\{t < 4\}}$ | $\widehat{x^*}_{\{t = 4\}}$ | $\widehat{x^*}_{\{t = 5\}}$ | $\widehat{x^*}_{\{t = 6\}}$ | $\widehat{x^*}_{\{t > 6\}}$ | $\#x^{(11)}$ |
|-----------------------------------|-----------------------|---------------------|-----------------------------|-----------------------------|-----------------------------|-----------------------------|-----------------------------|--------------|
| S1 | 1.87 | 28.02 | 2% | 38.6% | 36.9% | 8.6% | 13.9% | 0 |
| $\xi_{u \& d}(\bar{\theta})$ | 1.47 | 29.4 | | | | | | |
| S2 | 3.16 | 17.23 | 0 | 19.8% | 70.5% | 7.8% | 1.9% | 5% |
| $\xi_D^*(\bar{\theta})$ | 4.45 | 14.99 | | | | | | |
| S3 | 2.38 | 18.78 | 0 | 22.3% | 68.2% | 7% | 2.5% | 2.3% |
| $\xi_{\lambda=2}^*(\bar{\theta})$ | 1.97 | 17.00 | | | | | | |

$$\phi_1(\xi, \theta) = \pi_{10}^{-1}(x, \theta), \quad \psi(\xi, \theta) = \det^{-1/6}[\mathbf{M}(\xi, \theta)], \quad \text{OSD} = x^{(5)}$$

S1 = «up & down»

S2 = «up & down», puis D -optimal séquentiel

S3 = «up & down», puis D -optimal séquentiel pénalisé

- 1) Introduction
- 2) Planification séquentielle D -optimale
- 3) Planification D -optimale avec contrainte
- 4) Planification séquentielle D -optimale pénalisée
- 5) Exemples
- 6) Conclusions

(240 patients, 150 répétitions)

| | $\Phi_1(\xi, \theta)$ | $\psi(\xi, \theta)$ | $x^*_{\{t < 4\}}$ | $x^*_{\{t = 4\}}$ | $x^*_{\{t = 5\}}$ | $x^*_{\{t = 6\}}$ | $x^*_{\{t > 6\}}$ | $\#x^{(11)}$ |
|------------------------------|-----------------------|---------------------|-------------------|-------------------|-------------------|-------------------|-------------------|--------------|
| S1 | 1.54 | 29.04 | 0 | 14% | 77.3% | 7.3% | 1.3% | 0 |
| $\xi_{u \& d}(\bar{\theta})$ | 1.47 | 29.4 | | | | | | |
| S4 | 1.52 | 27.87 | 0 | 8.7% | 90% | 0.7% | 0.7% | 0.1% |

S4 = «up & down», puis D -optimal séquentiel pénalisé
avec $\lambda_N \nearrow$ de façon logarithmique

- changement quand $\sigma(\text{dose optimale estimée}) < \Delta_x$
 $\Delta_x =$ intervalle entre 2 doses consécutives
- accroissement prudent des doses quand $\sigma(\text{dose optimale estimée}) > \Delta_x/2$

S4 plus performante que S1 (= «up & down»)

- 1) Introduction
- 2) Planification séquentielle D -optimale
- 3) Planification D -optimale avec contrainte
- 4) Planification séquentielle D -optimale pénalisée
- 5) Exemples
- 6) Conclusions

6) Conclusions

- Convergence et normalité asymptotique des estimateurs en planification séquentielle D -optimale

$$x_{k+1} = \arg \max_{x \in \mathcal{X}} \mathbf{f}_{\hat{\theta}^k}^\top(x) \mathbf{M}^{-1}(\xi_k, \hat{\theta}^k) \mathbf{f}_{\hat{\theta}^k}(x)$$

et planification séquentielle D -optimale pénalisée

$$x_{k+1} = \arg \max_{x \in \mathcal{X}} \left\{ \mathbf{f}_{\hat{\theta}^k}^\top \mathbf{M}^{-1}(\xi_k, \hat{\theta}^k) \mathbf{f}_{\hat{\theta}^k} - \lambda_k \phi(x, \hat{\theta}^k) \right\}$$

quand λ_k borné

... sous l'hypothèse \mathcal{X} fini (seulement une condition technique?)

- $\lambda_n \rightarrow \infty$ pas trop vite \rightarrow optimisation/régulation auto-ajustée

- 1) Introduction
- 2) Planification séquentielle D -optimale
- 3) Planification D -optimale avec contrainte
- 4) Planification séquentielle D -optimale pénalisée
- 5) Exemples
- 6) Conclusions

- Normalité asymptotique quand $\lambda_n \rightarrow \infty$ suffisamment lentement?

$$\lambda_{\min}[\mathbf{M}(\xi_n, \hat{\theta}^n)] \sim A/\lambda_n?$$

Trouver une suite de matrices \mathbf{C}_n symétriques déf. pos. telles que $\mathbf{C}_n^{-1} \mathbf{M}^{1/2}(\xi_n, \bar{\theta}) \xrightarrow{P} \mathbf{I}$: construire \mathbf{C}_n à partir de

$$x_{k+1} = \arg \max_{x \in \mathcal{X}} \left\{ \mathbf{f}_{\bar{\theta}}^{\top} \mathbf{M}^{-1}(\xi_k, \bar{\theta}) \mathbf{f}_{\bar{\theta}} - \lambda_k \phi(x, \bar{\theta}) \right\}?$$

- Et pour la minimisation de $\mathbb{E}\{\sum_{i=1}^N \phi(x_i, \theta)\}$ ($\theta \sim \nu(d\theta)$) en horizon fini?

↪ Programmation dynamique stochastique... il faut trouver de bonnes approximations pour les lois *a posteriori* de θ , c'est-à-dire $\nu(d\theta | Y_1^k)$, $k = 1, 2, \dots$

- Système dynamique :

$$x_k = (u(t_k) \ u(t_{k-1}) \ \dots \ u(t_{k-d+1}))^{\top} \rightarrow \dots \text{difficultés supplémentaires}$$

1)
Introduction

2)
Planification séquentielle D-optimale

3)
Planification D-optimale avec contrainte

4)
Planification séquentielle D-optimale pénalisée

5) Exemples

6) Conclusions